

(541) 热延鋼板の固溶Nb量の定量化の検討

(Nbを含有する熱延鋼板の材質予測式の検討 第2報)

川崎製鉄株式会社

○登坂章男, 森田正彦

橋口耕一, 岡野忍

1. 緒言

1) 2)

当社では、既報のように、C-Mn系熱延鋼板の材質予測システムを構築し、種々の検討を行っている。

システムのレベルアップの1つとしてNb含有熱延高張力鋼板の材質予測モデルについて検討し、既存のC-Mn系熱延鋼板の材質予測システムにNbによる析出強化、フェライト粒細粒化による強化をとり込むことで、かなりの精度で材質予測が可能であることを報告した。³⁾

今回、熱延鋼板でのNbの状態、固溶状態のNbの定量化を検討し予測制度の向上を図った結果について報告する。

3. 実験方法

調査した熱延鋼板の化学組成と熱延条件、および引張特性(YP, TS, E ℓ)をTable 1に示す。

記号A～Jは実機熱延材、記号Kは記号Cを1250°C×1hrの加熱の後に水焼入れしたもの、記号Lは、記号Cを900°C×24hrの加熱の後、炉冷したものである。近似的に記号Kについては添加Nbは完全固溶しについては完全析出と考えられる。以上の材料についてFig 1に示すヒート・パターンに従い種々の温度で熱処理を行い引張特性を評価した。

4. 結果

K, Lについて、引張特性に及ぼす熱処理温度の影響をFig 2に示す。これらの結果をもとに以下の仮定を置いて、各材料の固溶Nb量を算出した。

1) 試料K, Lの固溶Nb量は各々0.035, 0wt% 2) 热処理前と600°Cで熱処理後の強度差はNb(C, N)の析出強化 3) 固溶Nb(^{sol}Nb)が析出することによる強度増加は新たに析出したNb量の $\frac{1}{2}$ 乗に比例する。

前報と同様にC-Mn鋼としての材質予測値と実績値との差(Δ YP, Δ TS)と
 $*\text{Nb}$ (=全Nb-in sol Nb),
 $**\text{Nb}$ (= $*\text{Nb}$ -sol Nb)との関係をFig 3に示す。
 $**\text{Nb}$ で整理した方が明らかに相関が強く、本法でのsol Nbの評価が妥当であると考えられる。

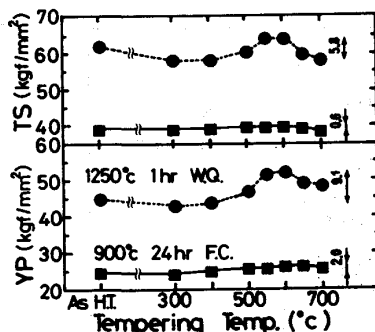


Fig 2 Effect of heating temperature on mechanical properties

1) 伊藤他; 鉄と鋼65(1979)A 185

3) 登坂他; 同 上71(1985)S 573

3) 登坂他; 鉄と鋼71(1985)S 1295

Table 1 Chemical compositions, rolling conditions and mechanical properties of specimens used

(in wt%)					
C	Si	Mn	P	Al	Nb
0.075	0.050	1.210	0.020	0.030	0.035

SRT(°C)	PTT(°C)	CR(°C)	LT(°C)	YP(kgf/mm²)	TS(kgf/mm²)	Eℓ(%)
A 1180	800	50	550	47	53	32
B 1230				50	57	31
C 1280				51	57	34
D		MIN 100		48	56	31
E		MAX 100		51	58	28
F		50	500	49	57	30
G			600	50	54	30
H	850		550	51	57	33
I	750			50	57	30
J	720			56	60	26
K	1250°C × 1hr	WQ		45	52	20
L	900°C × 24hr	FC		25	39	42

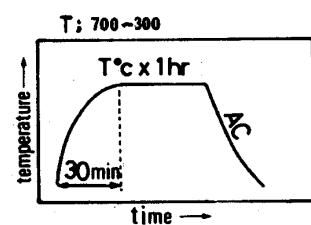


Fig 1 Schematic diagram of heat pattern used

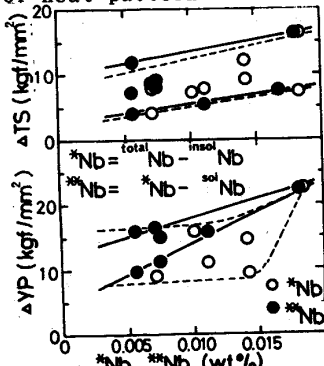


Fig 3 Relationship between Nb concentration (**Nb, **Nb in wt%) and strength difference between calculated value (for C-Mn steel) and observed value